

# 接種의理論과實際

編 輯 室 譯

## 1. 接種의 意味

接種 (inoculation, Impfen) 은 黑鉛球状化處理, 스ラ그處理 및 脱ガス處理 처럼 熔湯處理의 하나이고, 生物學的 의미로 이를 불인 「꼭合金效果를 갖지 않더라도 熔湯의 核生成을 增加시키는 後期 레를 添加」를 意味하는 말이다.

또, 接種이라함은 「現在의 普通分析上의 相違로는 說明하기 困難하나, 어떤 物質을 熔湯에 添加해서, 그의 組織을 變更 또는 修正하므로서, 目的으로 하는 性質을 改善한다」는 것이라고 하고 있다.

## 2. 接種處理의 推移

灰鑄鐵의 接種에 関한 最初의 文獻은 1908年에 보여지는데 實用化는 1922年에 G. E. Meehan이 「白銑 또는 斑銑熔湯을 硅化칼시움으로 接種해서 灰銑에서 바로 鑄物로 한 強力鑄鐵」에 関해서 美國特許를 얻음으로서 널리 퍼졌다.

日本에는 미하나이트鑄鐵製造技術의 一部로서 第2次 大戰後 導入되어, 接種處理는 特許로 이미 끊어졌고, 그런데 簡單하고 또 有力한 材質改善의 手段임이 判断되어, 日本의 鑄鐵熔解 技術을 크게 바꾸었다.

日本에서의 接種에 関한 報告는 1952年 以來 많이 보여지고, 또, 1954 ~ 1955年에 미하나이트鑄鐵에 関하여 浜住博士, 接種에 関해서 網谷博士의 解說이 「鑄物」誌에 있다.

그 以後 約 20年 以上이 經過하고, 接種處理는

強 鑄鐵製造에서 普遍의 方法으로 되어 손쉽게 하고 있는데, 熔解法의 相違等에 있어서微妙한 差가 생겨온다.

## 3. 接種의 目的

### (1) 組織 및 機械的性質의 改善

接種에 依해서 均一한 크기로 方向性이 없는 良好한 黑鉛, 即 A型黑鉛이 얻어지고, 또 其他는 펄라이트만으로 된다.

이들의 組織變化 및 共晶셀이 가늘어짐에 (그림 1) 依해서 引張強度, 抗折荷重, 鉗撓性 等이增加하고, 硬度가 減少한다.

이 效果는 低 C, 低 Si인 경우 特히 效果의이다.

### (2) 質量效果를 減少시킨다.

即, 두께 感度를 減少시킨다.

(3) 白銑化傾向을 減少시키고, 칠化를 防止한다.

## 4. 接種의 其他의 效果

(1) 初晶오스테나이트 텐드라이트가 가늘고, 均一하게 되고, 方向性이 없어진다.

(2) 接種後의 셀境界는 두껍고, 넓이도 넓어져 不明瞭하게 된다.

또, 셀境界의 增加와 固·液界面에서의 늦은 成長速度 때문에 偏析 패턴의 变化를 갖는다.

(3) 接種에 依해 繖密한 MnS介在物의 数가增加하고, 셀境界에 보여짐이 적어진다.

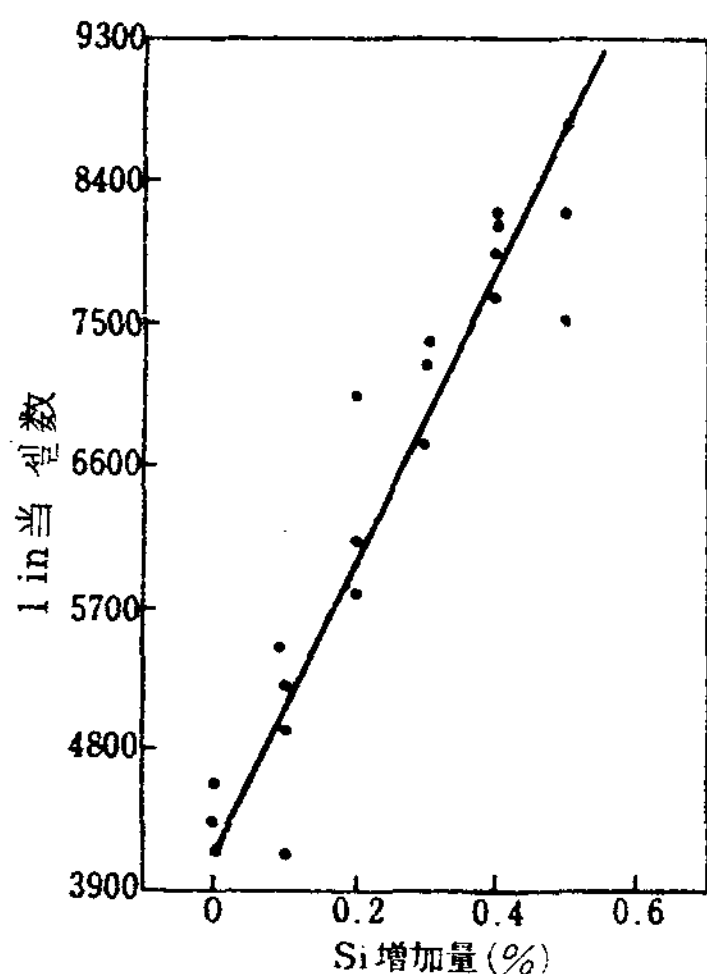


그림 1 灰鑄鐵의 共晶セル数의 接種剤의 量의  
影響

(4) 過冷이 적어지고, 温度의 再上昇이 빨리  
일어 난다.

이는 다음의 式으로豫想된다.

$$R^2 n^2 N^3 = \frac{dQ/dt}{4\pi L A^2} \quad \dots \dots \dots (1)$$

여기서

R : 共晶セル의 半径

n : 単位길이당 黑鉛片의 数 ( $1/\lambda$ )

N : 単位길이당 共晶セル界面의 数

$dQ/dt$  : 热抽出速度

L : 単位体積当の 熔融潜熱

A : 常数

即, (1)式의 左邊을 크게 하든가, 右邊을 적게  
하면, 過冷이 적어지는데, 接種에 依해 特히 N  
가 크게 되어 左邊이 커지기 때문에 過冷이 減少  
한다.

따라서 接種은 칠의 깊이를 減少하고, 이것으  
로부터 接種剤의 有効性의 測定에 칠 깊이를 採  
用함에 信頼性이 保証된다.

(5) 接種은 (2), (3)式으로부터 알 수 있는 바  
와 같이 共晶セル의 成長速度를 늦게 하고 (그림 2)  
黑鉛片을 성기게 한다.

即,

$$\frac{dR}{dt} = B (\Delta T)^q \quad \dots \dots \dots (2)$$

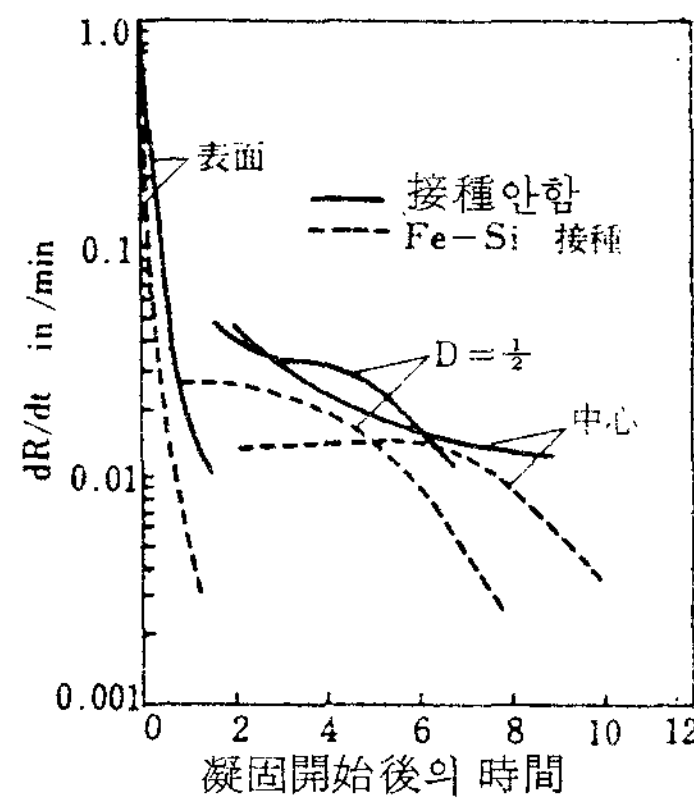


그림 2 接種에 따른 灰鑄鐵의 共晶セル 成長  
速度의 變化

여기서

$\frac{dR}{dt}$  : 界面의 成長速度

B, q : 常数

$\Delta T$  : 過冷

$$n = 1/\lambda = \Delta T / AB \quad \dots \dots \dots (3)$$

여기서

$\lambda$  : 黑鉛片의 間隔

大量의 接種剤의 使用은 칠 깊이를 減하기 보다  
는 오히려 黑鉛片을 성기게 하기 为 해 必要하다.

接種鑄鐵에서는 一般으로 큰 黑鉛片과 セル数가  
많음이 서로 매듭져 있으나, 黑鉛크기의 變化는  
接種剤의 有効性이 信頼되는 基準으로는 되지 않  
는다.

(6) 接種剤의 有効性은 鑄物의 冷却速度, C  
量 (또는 CE值)에 따라서 變한다.

即, 接種의 効果는 冷却速度가 빠를수록 크고,  
또, 低C量 (또는 低CE值)에서 頗著하다.

(그림 3)

이는 冷却速度가 빨랐다면, 低C인 편이 接  
種에 따라 過冷이 減少하는 可能性이 크다고 하  
는 것이며, 또 低C인 때에는 初晶오스테나이트  
가 間接的으로 接種剤의 量을 增加함과 같은 効  
果를 갖기 때문이다.

(7) 接種의 効果는 鑄込前의 熔湯의 높아 둠  
에 依해서 消滅된다.

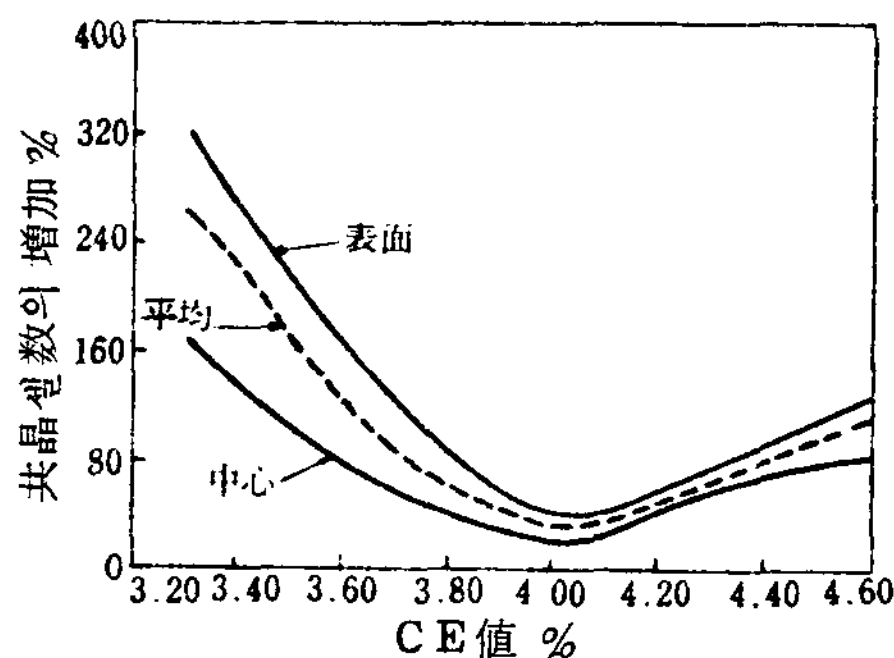


그림 3 灰鑄鐵에서의 接種에 依한 셀 수의 增加  
에 미치는 CE 值 및 冷却速度의 影響

即, fading이 일어난다. (그림 4)  
그의 程度는 使用하는 接種劑의 種類와 量에  
따라서 달라진다. (그림 5 및 6)

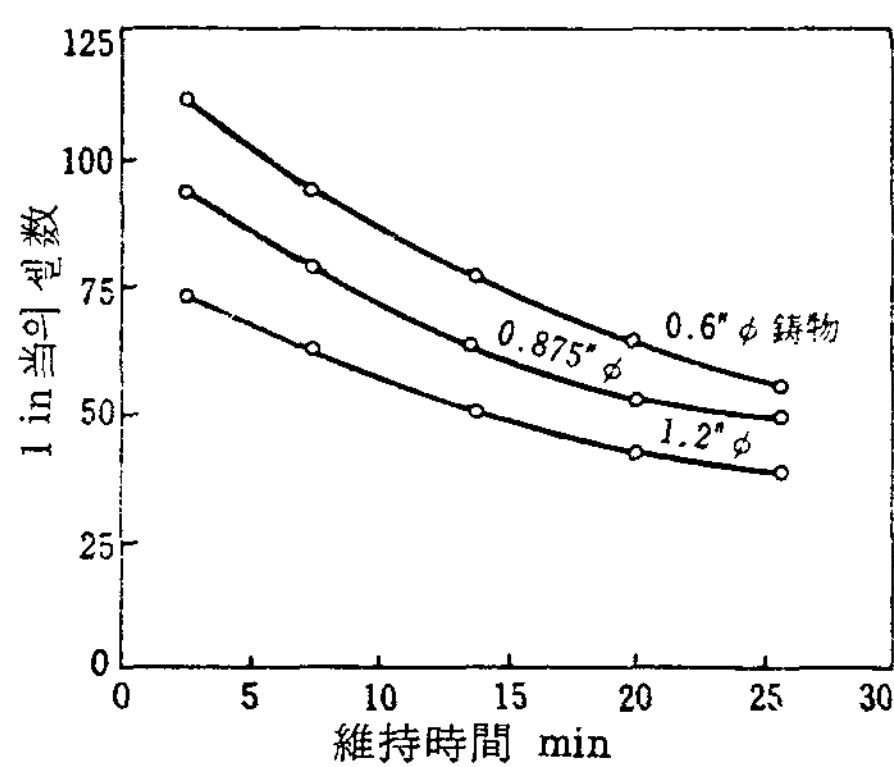


그림 4 灰鑄鐵의 共晶셀수에 미치는 接種後의  
維持時間의 影響

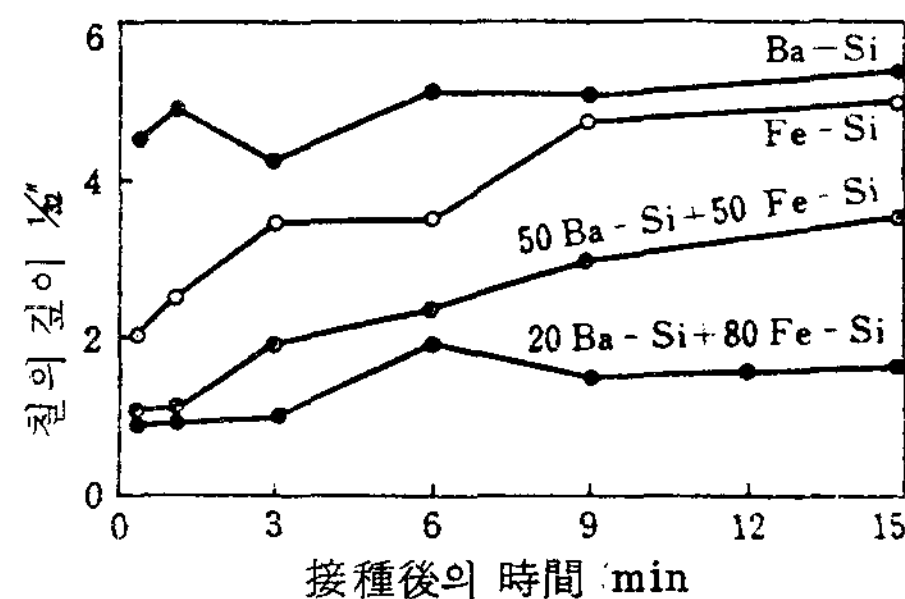


그림 5 灰鑄鐵에 미치는 接種效果 (질깊이) 的  
減少에 미치는 接種剤의 種類의 影響

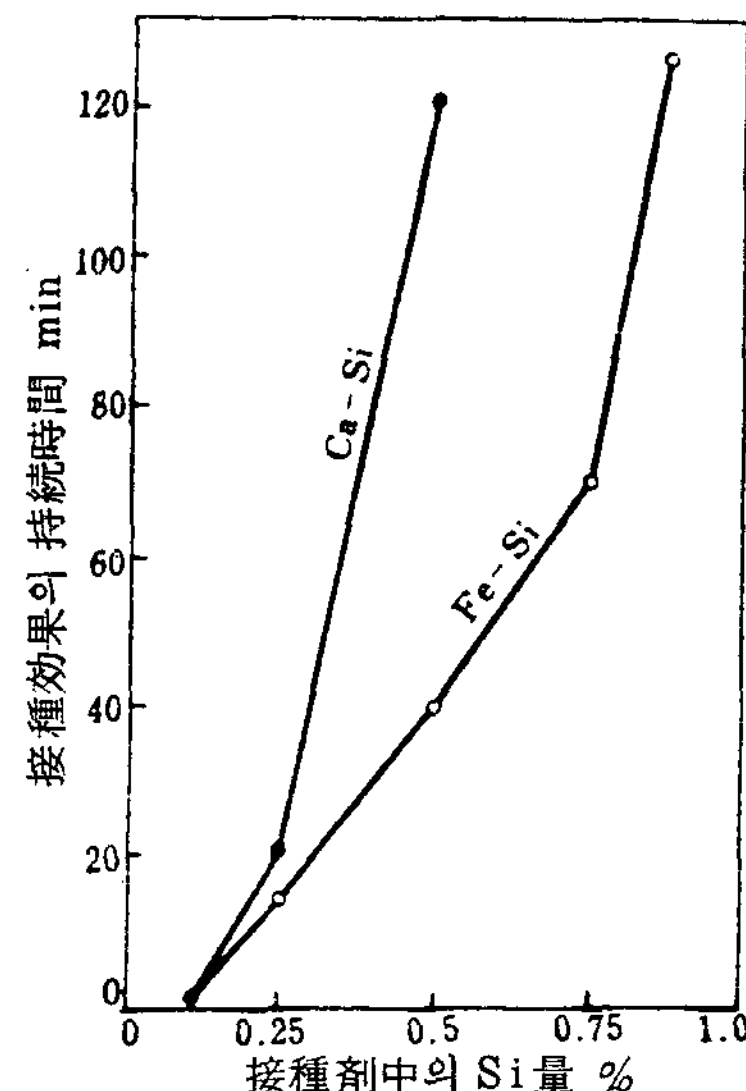


그림 6 灰鑄鐵의 接種效果의 持続時間에 미치는  
接種量의 影響

一般으로 接種中の Ca나 Ba의 비율이 크면  
fading은 늦다.

또, 熔湯의 維持方法의 影響도 크다.

(8) 接種前에 過熱되면 接種剤는 多量으로 必要하게 되는데, 接種은 效果的이 된다.

過熱이 同一인 경우에는 接種 및 鑄込 温度가  
높은 쪽이 接種效果가 크다.

## 5. 接種剤 (inoculant, Impfmittel)

B. Lux等에 따르면 灰鑄鐵의 核生成은 周期率表의 I, II 및 III族의 経金屬의 添加에 依해  
增加됨을 나타내고 있다.

H. D. Merchant는 1964年에 過去 10年間의  
文献을 調査하여 多種多樣한 接種剤를 列挙하고  
있는데 (表1), 큰 添加物은 Ca나 Al을 包含  
하고 있고, Fe-Si, Si-Mn-Zr (SMZ) 및 Si  
에서는 Ca나 Al의 存在가 그의 有効性에 對해서  
必需要이다.

또, 亞共晶組成에서는 Ca-Si가 Fe-Si 보다  
有効하고, 過共晶鑄鐵이나 球狀黑鉛鑄鐵에서는  
逆이다.

또, 黑鉛은 亞共晶鑄鐵에서는 強力한 接種剤이

表1 各種接種劑

Ca; Al, Ca-Si, Fe-Si, 黑鉛, Fe-Si-Ba,
CaCN <sub>2</sub> , N <sub>2</sub> , K <sub>4</sub> Fe(CN) <sub>6</sub> , K <sub>3</sub> Fe(CN) <sub>6</sub> , Ca-Mn-Si,
Al-Si, Al-Si-Ti, Fe-Si-Zr, Si-Zr,
Fe-Si-B, Fe-Si-Be, Ni-Si-Ca-Al-Mg,
Ni-Si, Si-Mn-Zr, K <sub>2</sub> CO <sub>3</sub> , Fe <sub>2</sub> O <sub>3</sub> ,
CaH <sub>2</sub> , Ca-Si-Ti, Si-Ti, Cr-Si,
Cr-Si-Mn, Cr-Si-Mn-Zr, Cr-Si-Mn-Ti-Ca,
Mo-Si, Si-C, CaC <sub>2</sub> , Si-Mn

나 過共晶鑄鐵이나 球狀黑鉛鑄鐵에서는 効果가 없다.

以上과 같이 一般으로 接種劑는 黑鉛化 促進剤와 脱酸剤를 包含하는 경우가 많다.

이것을 黑鉛化 接種劑(graphitizing inoculant, graphitisierendes Impfmittele)라고 부르고, 페라이트의 生成을 억제하는 接種劑, 即, Mn, Cr, Mo, V 等을 主로하는 接種剤를 安定化 接種剤(stabilizing inoculant, stabilisierendes Impfmittel)라 부른다.

그런데, 炭化物의 너무 安定化 되어도 困難하므로 黑鉛化元素를 併用해서 複合 接種剤(complex inoculant)로서 複合接種(Doppelimpfung)하는 경우가 많다.

이 때에는 合金效果도 期待된다.

現用되고 있는 接種剤에 対해서 1971年에 日本鑄物協會東海支部鑄鐵研究會가 委員各社로부터 収集한 資料(以下 調査資料라고 부른다)에 따르면 表2와 같다.

그런데 使用法은 꼭 单純하지는 않고, 2種以上的 接種剤의 組合도 많이 使用되고 있다.

例를 들면, Fe-Si + Ca-Si, 50S + Ca-Si, 50S + 이노팩 HW, 50S + 이노큐린, Fe-Si + 이노큐린 等이다.

表2 接種剤의 使用狀況

接種剤의 種類	50S	Ca-Si	75% Fe-Si	OZ剤	이노 큐린	其 他
使用 件數	12	8	5	3	3	C粉, K아로 이노팩 HW 가로이 各1

또, 이 資料에서 보이는限 GC 20以上에서는 50S의 使用이 많고, GC 25以上에서 Ca-Si의 使用比率이 많아지고 있는것 같다.

## 6. 接種의 方法

### 6-1 粒 度

添加条件과 熔湯量에 따라서 約 0.2mm로부터 3mm사이가 普通인데, 8mm程度까지 使用되고 있다.

6 메쉬로부터 140 메쉬 사이에서 한 実驗에서 大粒인 경우가 有効하였다.

이것은 大端히 가는(細) 接種剤의 경우, 可成酸化에서 없어지기 때문이라고 생각된다.

### 6-2 接種溫度

적어도 1455°C의 熔湯이 必要하다고 한다.

調査資料에서는 光高温計의 읽기로 1340~1430°C 사이에 걸쳐 있으며, 1380°C前後가 가장 많고, 補正이 끝난것으로는 1450~1500°C로 1480°C前後가 많았다.

### 6-3 添加方法

桶에서 添加하든가, 約 ¼湯이 들어간 레를에 添加하는 것이 가장 좋다고 한다.

實際로는 桶에서 添加하든가, 熔解炉로부터 레들에, 또는 前炉로부터 레를에 湯을 넣을 때 레들에 加한다.

### 6-4 接種目的과 接種剤의 添加量

黑鉛化 接種剤의 効果(例를 들면 共晶 셀의 数)는 約 0.2~0.4%의 添加까지는 上昇한다.

強度는 一部 特히 0.1~0.3%의 添加에서 最高가 될다고 하고 있다.

調查資料에 따르면, Fe-Si에서는 0.1~0.5% (0.3%가 가장 많다), Ca-Si에서 0.1~0.5% (0.2%가 가장 많다), 50S에서 0.1~0.5% (0.3%가 가장 많다)로, 其他 이노큐린에서 0.1~0.4%, 카로이에서 0.1~0.25%가 添加되고 있다.

中村에 따르면 一般的의 接種의 方法으로 表3이 주어진다.

表3 一般的인 接種方法 (中村)

接種의 目的	熔湯의 性質	接種剤의 種類 및 量 (%)	注意事項
薄肉部의 칠化防止	酸化되어 있는 경우	Fe-Si 또는 Ca-Si 0.1~0.2	C, Si 가 낮고 白銑化傾向이 클 때에는 Fe-Si의 量을 0.4% 정도增加한다. (強度는 약간 낮음)
	C, Si 가 낮은 경우	Fe-Si 0.1~0.2	
強度의 改善	白 鑄 鐵	Ca-Si 또는 高 Al Fe-Si 0.2~0.4	過剩接種이 되지 않도록 注意한다. 接種量이 많으면 強度는 逆으로 低下한다.
	灰 鑄 鐵	Ca-Si 0.2~0.3	
	酸化되어 있는 경우	Ca-Si 0.2~0.4	接種後 15 分以内에 鑄込 한다.
材質의 均一化		Ca-Si 0.1~0.2	
페라이트析出의 阻止	C, Si 가 높은 경우	Si-Zr, Fe-Cr	
	두꺼운 부분의 페라이트化	Ca-Si*	

\* 酸化熔湯等의 特殊한 場合

#### 6-5 接種後 주입까지의 時間

前述한 바와 같이 接種의 效果는 維持時間과 함께 減少하여, 20~30分에서 無處理의 狀態로 돌아가든가, 低下한다.

따라서 接種後 빨리 鑄込할 必要가 있으며, 늦어도 20分以内에 鑄込을 끝내도록 한다.

但, 大物로 아주 長時間을 必要로 하는 경우에는 接種剤를 넉넉하게 添加한다.

#### 7. 接種效果의 判定法

다른 製造条件(配合, 熔解等)이 同一한 경우, 가장迅速한 方法은 紗 기形 試驗片에 依한 칠 試驗이다.

그런데 正確하고 가장 信賴가 되는 試驗法은 共晶セル의 測定이다.

調查資料에 따르면 各社 어디든 칠 試驗法을 採用하고 있고, 热分析法(CE메타等)과의 併用도 보여진다.

또, 칠 試驗法은 強制 칠 試驗法과 紗 기形 試驗法으로 나뉘어지고, 前者の 경우가 많았다.

##### 7-1 強制 칠 試驗法 (板 칠 試驗法)

本法은 ASTM 및 日本鑄物協會等에서 採用되고 있는데, 紗 기形과 달라서 試驗片의 두께는 각각一定하고 一端을 칠板에 接触시켜서 그의 急冷端부터의 칠 두께를 測定해서 熔湯의 性質을 判定한다.

纱 기形에 比較해서 一般으로 鑄型이 작고, 冷却速度가 빠르므로, 結果를 보다迅速히 알 수가 있다.

칠板에는 鑄鐵, 鋼, 銅, 黑鉛等이 使用되는데, 칠板의 温度가 250°C以上으로 올라가지 않도록, 특히 되풀이 使用할 때 注意하지 않으면 안된다.

試驗片은 油砂型, 蛋型, CO<sub>2</sub>型等으로 4~5個를 한 상자로 하는 것이 便利한데, 이 경우, 각각의 사이를 적어도 試驗片의 두께의 2.5倍以上 멀어지도록 함이 要望된다.

그림7은 一般으로 쓰여지고 있는 強制 칠 試驗片의 모양 및 칠 두께의 測定부를 나타낸다.

또, 그림中의 各部의 치수에 对해서, 表4에 NIK法에 指定된 치수, 表5에 알맞는 칠 두께를 나타냈다.

表6은 調查資料에 依한 各社의 試驗片의 치수 및 使用鑄型等을 나타내고 있다.

또, 各社의 接種效果는 判定基準은 表7과 같다.

其他 A社에서는 比較的 칠의 発生이 쉬운 製品(GC 20程度)에 对해서, 칠 두께와 引張強度 및 칠 두께와 CE 값의 概略의 傾向을 把握

하고 있다.

또, 元來의 熔湯의 칠 깊이로부터 表 8 과 같은 3段階의 接種量의 作業標準을 定하고 있다.

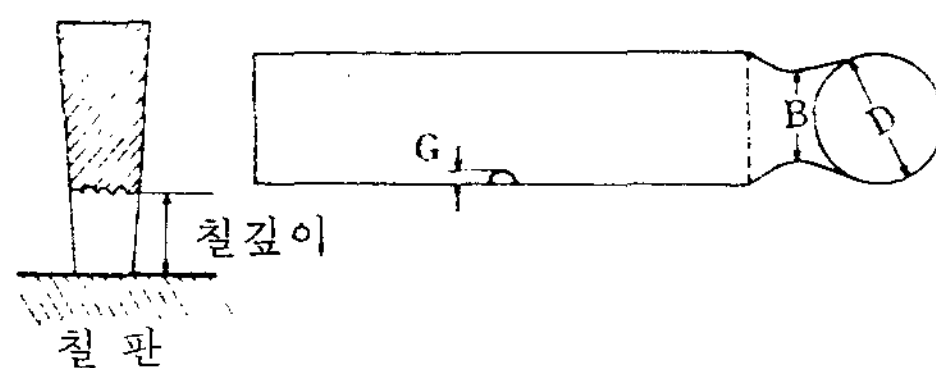
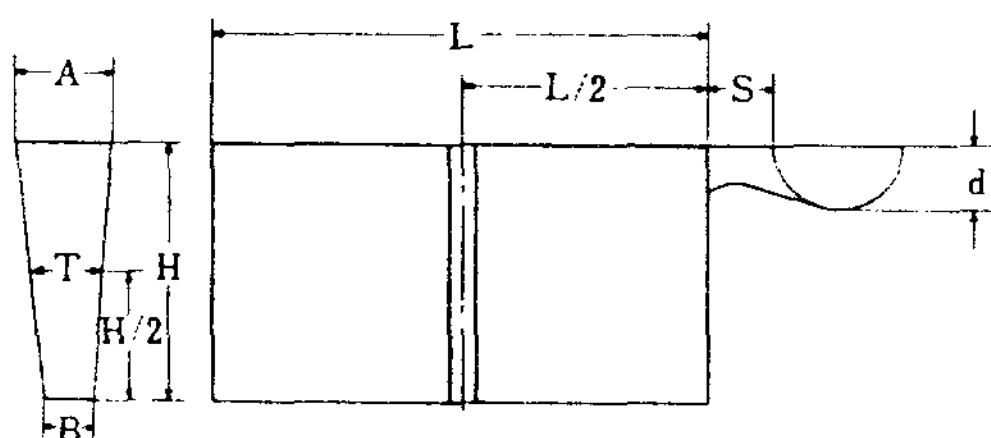


그림 7 強制 칠 試驗片

表 4 NIK法에 따른 模型 치수  
(mm)

番号	A	B	H	L	D	d	G
C1	6.0	3.0	30.0	65.0	18.0	12.5	0.8
C2	8.5	5.0	37.5	75.0	22.0	12.5	0.8
C3	11.0	8.0	45.0	85.0	22.0	12.5	1.3
C4	15.5	12.0	50.0	100.0	25.0	15.0	1.3
C5	20.0	16.5	65.0	125.0	25.0	15.0	1.5

表 5 試驗片에 알맞는 칠 두께 || (mm)

番号	칠 깊이
C1	2~9.5
C2	3~13
C3	4.5~20
C4	6.5~25
C5	8.5~30

表 6 各社의 強制 칠 試驗法의 치수, 鑄型 및 칠판

	A	B	H	L	D	d	G	鑄型	칠판
A社	44	42	50	103				CO <sub>2</sub> 型	8mm鋼板
B社	15	10	45	108	22	11	4	CO <sub>2</sub> 型	210×300 ×14mm 鑄鐵板
C社	10	8	30	120			0	セル型	20×150 mm <sup>2</sup>
D社	ASTM 2C 改良型								

表 7 判定方法 (材質의 칠 깊이)

	FC 20	FC 25	FC 30	Ni-Mo 鑄鐵	接種劑
B社	1~4	3~6	8~12		75% Fe-Si
C社	2~6	2~7	5~16	2~17	50S(粒狀3~8mm), OZ剤(粉末)
D社		< 7			이노큐린 (粒狀1~3mm)

接種劑	FC 20	FC 25	FC 30	Ni-Mo 鑄鐵
75% Fe-Si	1~4	3~6	8~12	
50S(粒狀3~8mm), OZ剤(粉末)	2~6	2~7	5~16	2~17
이노큐린 (粒狀1~3mm)		< 7		

接種劑	FC 20	FC 25	FC 30	Ni-Mo 鑄鐵
75% Fe-Si(粒 狀), Ca-Si(3~ 5mm), C粉		< 7		

表 8 칠 깊이와 接種量의 作業標準(GC 20)

칠 깊이 (mm)	接種量(50S) (%)
< 4	0.2~0.3
4~10	0.3~0.4
>10	0.5

表 9 試驗片에 알맞는 칠 두께 || (mm)

### 7-2 쇄기形 試驗法

이 方法은, NIK法을 처음, 學振法, ASTM法, 미하나이트法等에서 널리 採用하고 있어서, 同一条件에서同一모양의 쇄기型 試驗片用鑄型에 鑄込하고, 冷却後 試料斷面의 先端으로부터 칠 깊이, 또는 칠부와 斑銑部와의 境界의 幅等을 測定

해서 熔湯의 性質을 判定하는 方法이다.

鑄型은 主로  $\text{CO}_2$  型, 셀型 및 油砂型에서 몇 個를 한상자에 넣는 경우가 많다.

미하나이트 鑄鐵에서 接種效果를 充分히 얻기為해서는 接種後의 最大 칠部의 幅  $L, L'$  를 測定해서  $L/L' > 2$  가 希望된다고 하고 있다.

또, 斑銑部의 깊이, 周辺部와 中心部의 칠 깊이의 變化等으로부터 熔湯의 C, Si의 比率이나 酸化의 程度를 判定할 때도 있다.

그림 8 은 쇄기型의 断面모양으로, 表 9 및 10 은 NIK法 및 ASTM法의 各部 치수이다.

表 11에 各社의 쇄기型 試驗片의 치수의 例를 나타내고 있고, 각각의 判定方法을 列舉하면 다음과 같이 된다.

即, E社는 接種前後의 칠部의 最大幅을 測定하고, 또 初晶溫度를 체크하고 있다.

그의 基準은 表 12와 같다.

G社는 칠 試驗만으로는 散布가 큽니다. CE 메타를 隨時 併用하고 있는데, CE 메타를 主로해서, 칠 試驗을 이에 따르는 方向으로 하고 있다.

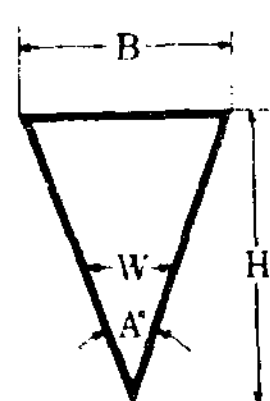


그림 8 쇄기型 試驗片의 断面모양

表 9 NIK法에 依한 쇄기형 칠 試驗用 模型의 치수

(mm)

番号	B	H	길이
W1	5.0	25.0	100.0
W2	10.0	30.0	100.0
W3	20.0	37.5	100.0
W4	25.0	45.0	125.0
W5	30.0	50.0	150.0

表 10 ASTM法에 依한 쇄기形 試驗用 模型의 치수

(in)

	B	H	A	길이
W1	0.20	1.00	11.5°	4
W2	0.40	1.25	18°	4
W3	0.75	1.50	28°	4
W4	1.25	4.00	34.5°	6

注) 그림 8 中의 W는  $B/2$  以上이 되여서는 안된다.

表 11 各社의 쇄기形 試驗片의 例

	B (mm)	H (mm)	A (deg)	길이 (mm)	鑄型	備考
E社	16	77	18	50	油砂型	CE 메타를 併用
F社	20	40		70	生型	成分調整에 CE 메타를 併用
	12	25		70	生型	
G社					$\text{CO}_2$ 型	CE 메타를 主로 한다

表 12 接種效果의 判定基準 (E社)

	元湯 W (mm)	接種後 W (mm)	初晶溫度 [F(C)]	接種劑
GC 30	8	3~3.5	2220±10 (1216±5)	Ca-Si (2mm)
GC 25	4	1.5~2.5	2190±10 (1199±5)	50S (3~8mm)
GC 20	2	<1.5	2150±10 (1177±5)	50S (3~8mm)

## 8. 接種의 理論

接種에 依해서 얻어지는 前述한 바의 여러 가지效果를 說明하기 为해서 核說, 脱酸說, 脱硫說 및

局部的濃化說等이 提案되고 있다.

井川은 鋳鐵의 接種機構를 다음과 같이 말하고 있다.

(1) 接種劑中에 含有되어 있는 元素와 熔湯과의 反應에 依해서 生成되는 核物質 (Ca, Al等의 炭化物等)

(2) 接種劑中에 含有되는 Si의 熔湯中에의 녹아 들어감의 過程에서 形成되는 C의 高活量微小範圍의 分散

(3) 接種에 依해서 일어나는 脱酸, 脱硫等의 熔湯性狀變化가 共晶殼成長에 미치는 影響과 그의 結果 얻어지는 黑鉛組織 및 基地組織의 變化

(4) 이를 諸機構에 依해서 가져오는 組織變化에 따른 機械的性質의 向上

이들中, (1)의 機構에 対해서 B, Lux는 다음과 같이 생각한다.

即, 黑鉛이 均質核生成하기 為해서는 그림 9의 上圖처럼 同時に 6個의 C原子가 모이는데, 下圖처럼 段階的으로 모여 6角의 黑鉛環을 形成할 必要가 있는데, 이와같은 頻度는 아주 적다.

이 때문에 異質核에 依한 核生成을 생각 하지 않으면 안된다.

Lux는 異質核으로서 炭化物을 생각하였다.

即, 周期律表의 I ~ V族의 元素를 純 Fe-C, Fe-C-Si系熔湯에 接種해서 共晶殼 및 過冷度를 調査하여, I ~ III族의 元素가 共晶殼을 가늘게 하고, 過冷度를 減少시키고, 그의 代表的인 것이 Ca, Al인 것을 알았다.

또, 表 13에 依해 共晶殼 数를 增加시키는데 效果가 있는 元素는 炭化物塙 (Salt like carbide)를 形成하고, 共晶殼 数에 影響이 적은 IV 및 V族의 元素는 金屬的炭化物 (metallic carbide)를 形成함을 알수 있다.

이제 炭化物塙의 例로서 CaC<sub>2</sub>를 取한다.

純 CaC<sub>2</sub>는 常温에서는 비틀어진 NaCl型格子인데, 高温에서는 비틀림이 없어져, 面心立方의 NaCl型格子가 된다.

C<sub>2</sub><sup>2-</sup>는 Cl의 位置에 있고, Ca는 Na의 位置에 들어간다.

C-C의 距離는 1.4 ± 0.2 Å으로 黑鉛의 低面에 있어서의 C-C의 距離 1.42 Å과 잘一致하고 있다.

表 13 주기율표에 따라서 整理한 各種 炭化物

炭化物塙			金屬炭化物	
I	II	III	IV	V
Li <sub>2</sub> C <sub>2</sub> , LiHC <sub>2</sub>	Be <sub>2</sub> C			
Na <sub>2</sub> C <sub>2</sub> , NaHC <sub>2</sub>	MgC <sub>2</sub> ?, Mg <sub>2</sub> C <sub>3</sub>	Al <sub>4</sub> C <sub>3</sub>		
K <sub>2</sub> C <sub>2</sub> , KHC <sub>2</sub>	CaC <sub>2</sub>	(Sc <sub>4</sub> C <sub>3</sub> ?)	TiC	VC, (V <sub>4</sub> C <sub>3</sub> ?)
Rb <sub>2</sub> C <sub>2</sub> , RbHC <sub>2</sub>	SrC <sub>2</sub>	YC <sub>2</sub>	ZrC	NbC
Cs <sub>2</sub> C <sub>2</sub> , CsHC <sub>2</sub>	BaC <sub>2</sub>	LaC <sub>2</sub> *	HfC	TaC, Ta <sub>2</sub> C
Fr(?)	Ra(?)	Ac(?)**		

\* CeC<sub>2</sub>  
MeC<sub>2</sub>

Me = 希土類元素

\*\* ThC<sub>2</sub>, ThC  
UC<sub>2</sub>, UC

□印은 CaC<sub>2</sub>와 같은 C<sub>2</sub><sup>2-</sup>이온을 갖인 炭化物

또, 高温에서 C<sub>2</sub><sup>2-</sup>이온은 그의 重力中心의 주위에서 回轉運動을 한다.

黑鉛晶出의 第一段階는 核表面에서의 黑鉛環의 形成이다.

CaC<sub>2</sub>格子는 C<sub>2</sub><sup>2-</sup>이온은 自由로回転되고 있어서, C-C距離의 黑鉛과의 類似로부터 黑鉛環의 一邊으로 変하는 것은 極히 쉽다고 생각된다.

거기에 熔湯中으로부터 C<sub>2</sub>分子가 加해져 多數의 黑鉛環이 形成된다.

C<sub>2</sub><sup>2-</sup>이온이 相互의 距離는 4.19 Å으로, 連続하는 黑鉛環의 対應 C-C距離가 4.26 Å인 것도有利하게 作用하고 있다고 생각된다.

또, 黑鉛의 底面間의 距離는 Co (黑鉛)/2 = 3.36 Å으로, CaC<sub>2</sub>格子의 (111)面間의 距離가 a<sub>0</sub> (CaC<sub>2</sub>)/3 × √3 = 3.41 Å으로, C軸에 있어서도 두個의 格子는 잘一致하고 있어 黑鉛의 成長에 有利하다.

要は, Lux에 따르면 C<sub>2</sub>分子를 그 中에 含有되어 있는 異質核에 依한 黑鉛의 形成이라고 생각하였다.

또, CaC<sub>2</sub>의 生成自由에너지의 變化는 CaO, CaS 보다 적으나, 接種時의 平衡에 達하지 않은 狀態에서는 CaC<sub>2</sub>는 生成되는 것이라고 생각하고 있다.

다음에 (2)의 Si의 挙動에 対해서, F. Hurum은 接種剤로서의 Fe-Si의 熔込을 顯微鏡的 觀察에 依해서 그림 11과 같이 생각하였다.

即, 熔湯中에 添加된 固体의 Fe-Si의 表面에 Fe가 扩散해서,  $\epsilon$  相을 形成한다.

또한, Fe의 扩散에 따라서 시리코·페라이트, 시리코·오스테나이트의 形成이 進行되어, 이 Fe의 合金化에 따라서 周辺의 熔湯中에서의 C의 濃化가 일어나, C도 또 시리코·오스테나이트中에 扩散한다.

이 結果 시리코·오스테나이트中에 Si炭化物의 析出이 일어나, 周囲의 熔湯으로부터의 C의 扩散과 함께 그 数를 增加한다.

이와같이 해서 接種剤의 最外周部의 시리코·오스테나이트가 熔湯中에 熔込되면, 그 内部에 생긴 Si炭化物이 熔湯中에 散布하여 이것이 核이 된다고 한다.

井川은 이 微細粒子가 熔湯中에 均一하게 分散함에 依하여 각各周囲에 Si과 C가 豊富한 微細領域을 形成하여, 或 그附近에 有効核이 存在할 때, 黑鉛의 晶出을 促進한다고 생각함이妥當하다고 말하고 있다.

其他(3)은 여러 가지의 実驗結果로 肯定되고 있고, (4)는 接種의 理論과는 関係가 없다.

以上이 有力한 接種의 理論인데, 꼭 接種에 어떤 効果를 網羅하는 것은 아니고, 未解決의 問題도 있다.

黑鉛이나 鋼鐵의 接種效果는 熔解過程에서의 C의 미크로·구름形成에 따른 均質核生成이라고 생각된다.

또, 草川等의 実驗等으로부터 接種剤中의 非金屬介在物의 作用도 無視할 수 없다고 생각된다.

## 9. 其他の 接種 過程

이제 까지 主로 灰鑄鐵의 接種에 対해서 말하여 왔으나, 球狀黑鉛鑄鐵에서도 熔湯의 核生成을 增加시키기 為해서 接種을 한다.

이 경우, Fe-Si 接種剤와 함께 Al이나 Ca를 添加하더라도 接種의 어떤 改良도 얻지 못한다.

球狀黑鉛鑄鐵에서는 球狀化剤와 Fe-Si의 添加의順序는 대단히 重要한데, 球狀化 处理前의 添加는 接種效果가 없고, 处理後의 添加가 가장 效果的이다.

同時添加는 中間의 效果를 갖고 있다.

球狀黑鉛鑄鐵에서의 接種은 過冷을 減少하고, 炭化物의 生成을 防止한다.

真空熔解한 鑄鐵은 少量의 Fe-Si, Ca 또는 Ca-Si의 添加에 依해서 部分的 또는 完全히 球狀組織이 얻어지는데, 이 경우에는 Ca-Si 쪽이 Fe-Si 보다 效果的이다.

白鑄鐵에 Fe-Si, Ca-Si 또는 Ca를 加하면 黑鉛化가 助長된다.

Fe-Si로 接種하면 全 Si 量으로 变化가 나타나지 않더라도, 白鑄鐵의 可鍛化 때문에 아니NING 時間이 짧아진다.

液状의 接種剤를 鑄鐵에 加하는 試圖로 하였다.

液状의 接種剤로서는 Fe-Si, 鋼 및 低C 鑄鐵이 있고, 可成의 接種效果가 얻어진다.

凝固하는 融液의 核生成은 音波, 超音波, 回転 또는 搅拌에 따라 效果적으로 增加한다.

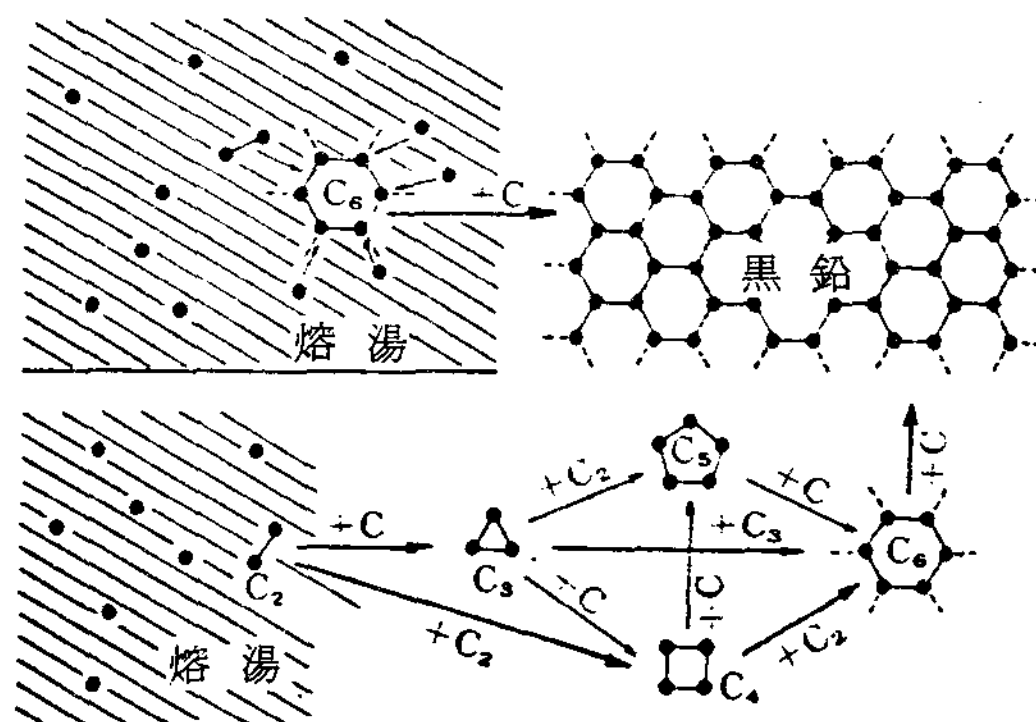


그림 9 黑鉛의 均質核生成 - C原子의 黑鉛環으로의 生長

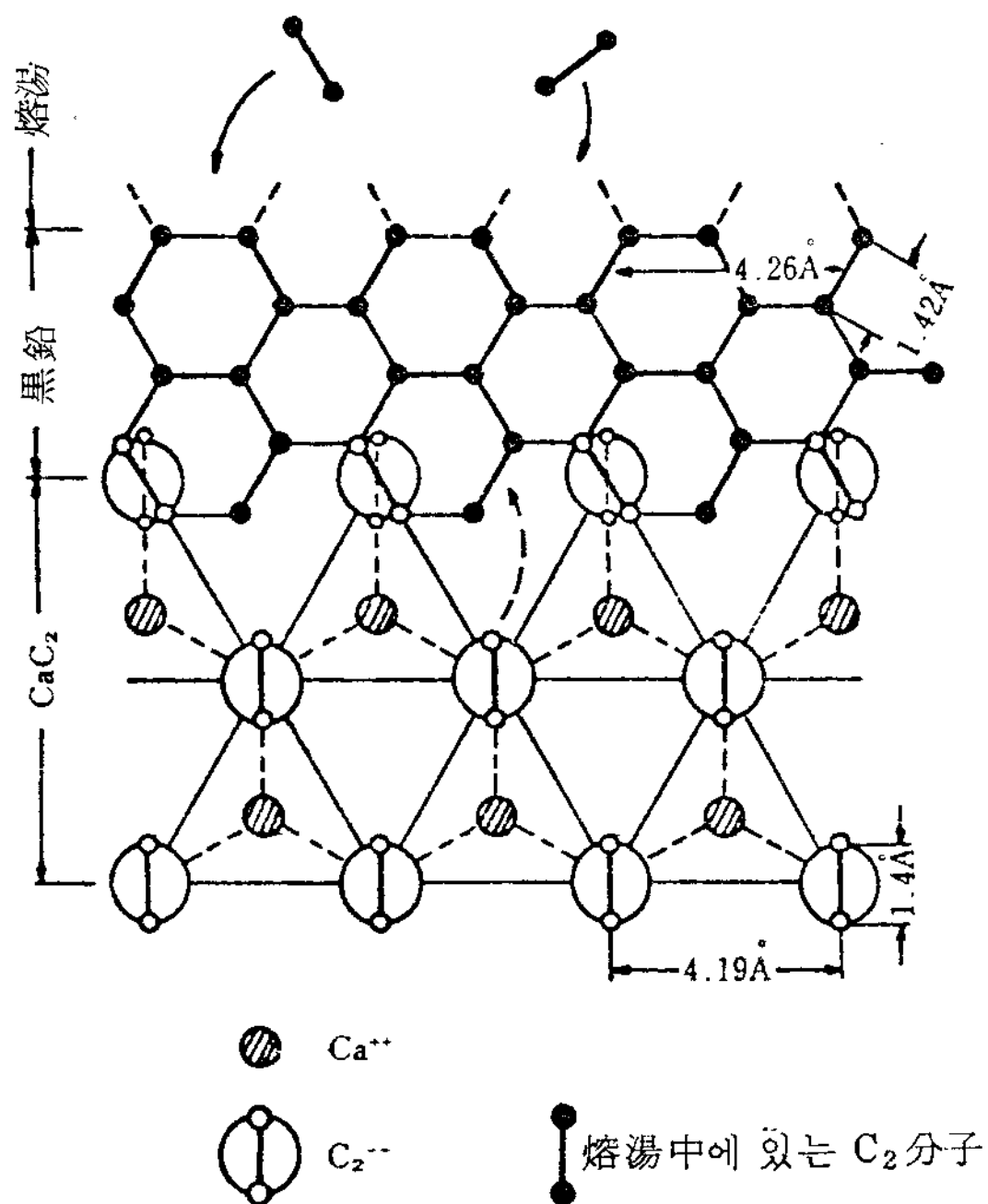


그림 10  $\text{CaC}_2$ 의 (111)面에 있어서의  $\text{C}_2$ 의析出에 따른 黑鉛底面의 形成

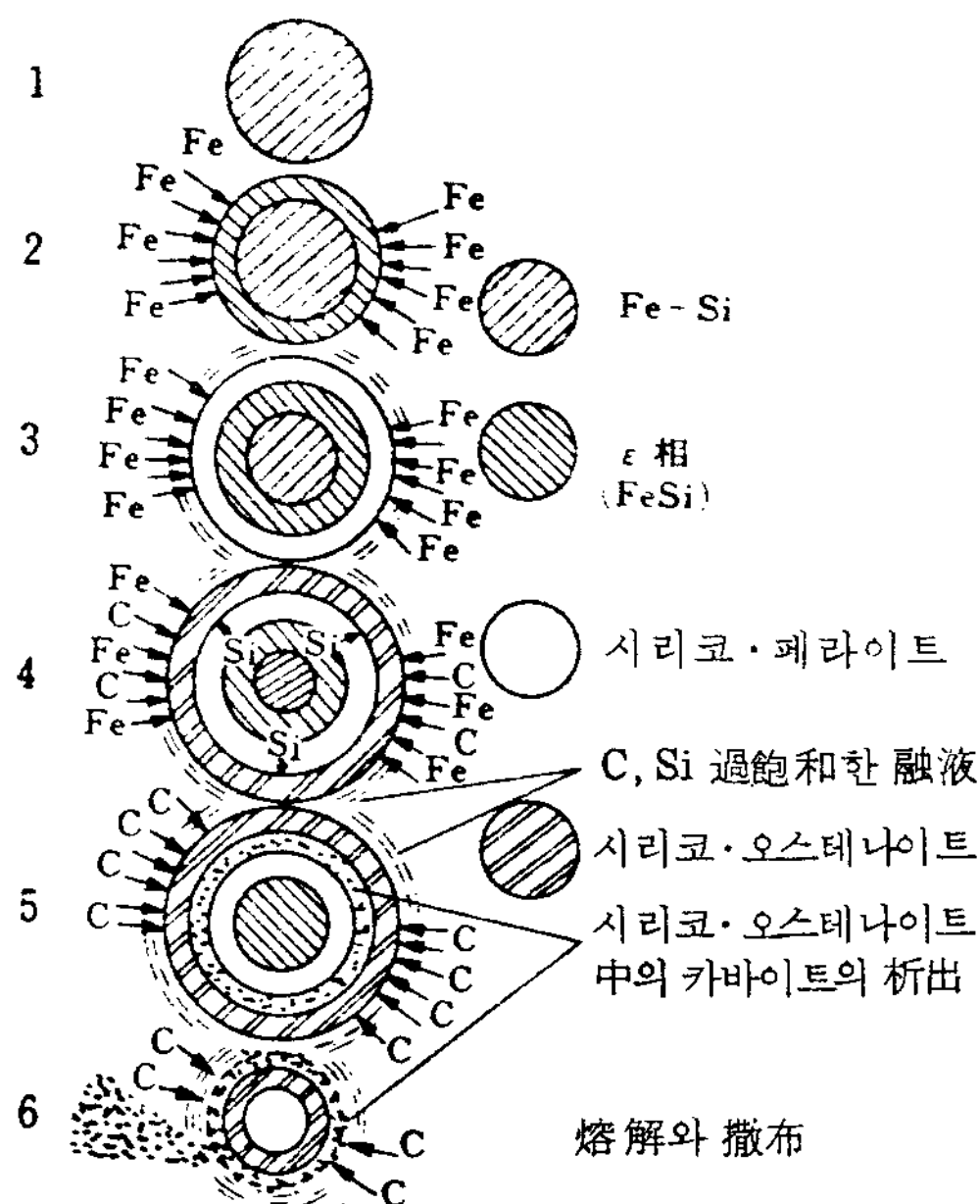


그림 11 鋳鐵熔湯中에 接種된 Fe-Si 合金에 있어서의 拡散段階

## 文 獻

- 1 ) H. D. Merchant : "Recent Research or Cast Iron" (1968) (Gordon & Breach)
- 2 ) 網谷: 鋸物, 27 (1955), 2, 81
- 3 ) 浜住: 鋸物, 27 (1955), 1, 35
- 4 ) 日本鋸物協會東海支部鋸鐵研究会: 「鋸鐵의接種 및 黑鉛化」 (1971)
- 5 ) 中村: 「鋸鐵熔湯과 그의 改良処理」 講習会教材 (1975) (日本鋸物協會関西支部)
- 6 ) 日本鋸物協會鋸鐵熔解部会: 鋸物, 41 (1969) 12, 1003
- 7 ) 日本鋸物協會: 「큐포라 핸드북」 (1957) (丸善)
- 8 ) 井川: 日本金属学会会報, 3 (1964), 9, 477
- 9 ) F. Hurum : Trans AFS, 65 (1957), 66
- 10) 草川, 薬師寺, 森村: 学振 第24 委員会鋸鐵分科会 資料 No. 39 (1975)

## 付 記

近着의 Giesserei 誌 (62 (1975), 692)에 따르면, 結晶状의  $\text{SiO}_2$  가 異質核이 된다고 한다. 即, [O]로 過飽和한 熔湯에 Fe-Si로 接種하면, 部分的으로 [Si]로 過飽和가 되어, 또, 酸素를 含有하는 것으로 接種하면 凝固時 部分의 으로 [O]의 過飽和가 생겨, 結晶状의  $\text{SiO}_2$  가 된다.

이  $\text{SiO}_2$ 는 結晶表面을 갖는 限 有効하여, 스마그化 되면 效果가 없어진다.

( 資料: 鋸物 Note No. 27 (3) 1976 東邦코오크스販売㈱ 発行 )